

Relatório Semestral

Orientando: Gustavo Silva Garone

Orientadora: Elisabeti Kira

28 de fevereiro de 2025

PASSEIO ALEATÓRIO: SIMULAÇÕES E AVALIAÇÃO DE NOVAS ABORDAGENS

Introdução

Realizamos uma revisão da literatura existente para identificar os principais resultados sobre o problema da Ruína do Jogador e suas variações. Numa versão simples da original proposta por Pascal (EDWARDS, 1983), dois jogadores, A e B, competem apostando no lançamento de uma moeda honesta. Ao ganhar a aposta, o jogador A recebe um real do jogador B e vice-versa. Além da questão proposta por Pascal sobre a probabilidade do jogador ir à ruína, ou seja, perder todo seu dinheiro, dado que começou com uma quantia a , também foram estudados o tempo esperado de duração do jogo (STERN, 1975) e, pelo cálculo de equações de diferenças finitas, a variância dessa duração (ANDĚL; HUDECOVÁ, 2012), explorando casos em que o jogador B tem dinheiro finito, fornecendo uma barreira superior para o jogo N , e casos em que B age como uma banca, possuindo dinheiro ilimitado e impossibilitando a “vitória” de A. Nesse contexto, os resultados obtidos por esses autores funcionam apenas para ganho e perda de um real por aposta.

Neste projeto, realizado conjuntamente com Eduardo Ishihara, analisamos um estimador proposto por este para passeios mais complexos através do emprego dessas simulações na linguagem de programação Julia. A descrição desses passeios e de suas diferenças quando comparados ao problema clássico da Ruína do Jogador será apresentada ao longo do corpo do texto.

A Simulação de Monte Carlo é uma técnica baseada em amostragem aleatória para emular sistemas complexos, normalmente por meios computacionais (HARRISON, 2010). Dessa forma, é útil no estudo do comportamento de passeios aleatórios com parâmetros diversos, o que foi crucial para avaliar o estimador proposto.

Atividades Desenvolvidas

Descrevendo jogos

No problema da Ruína do Jogador, além do valor inicial a do primeiro jogador e o dinheiro total em aposta N , podemos empregar uma variável aleatória X para descrevermos o ganho e perda em cada jogada ao longo do processo estocástico no tempo discreto T . Logo

$$X = \begin{cases} 1, P(X = 1) = p \\ -1, P(X = -1) = 1 - p = q \end{cases}$$

Em que, na Ruína do Jogador, $p = q = 0.5$

Por X a cada instante $t \in T$ (tempo discreto do jogo) não depender de resultados anteriores e $E(X) = 0$, vemos que esse problema trata de uma cadeia de markov e de um martingal (DOYLE; SNELL, 1984, pp. 11–14). Com esse X , podemos obter resultados tratando da esperança da duração T de jogos desse tipo em função de a e N STERN (1975)

$$\mu_{a,N} = E(T_{a,N}) = \begin{cases} a(N - a) & \text{se } p = q = 1/2, \\ \frac{a}{q-p} - \frac{N}{q-p} \left(\frac{1-(q/p)^a}{1-(q/p)^N} \right) & \text{se } p \neq q. \end{cases} \quad (1)$$

Temos pelo desenvolvimento desse resultado que (1) depende da propriedade markoviana e que $\mu_{a,n}$ assume formas diferentes caso o passeio se trate ou não de um martingal.

Como descrito por Ishihara, seguindo os resultados (de STERN, 1975) para outras formas de X mais complexas, utilizando valores de ganho e perda diferentes de 1 ou com mais valores possíveis é cada vez mais difícil conforme a complexidade de X aumenta, inviabilizando a resolução analítica de problemas desse tipo. Portanto, foi proposto um estimador para avaliação através de simulações de Monte Carlo.

Notação para jogos

Descreveremos jogos (passeios) futuros em termos de a , N e X , $J_{a,N,X}$, e buscaremos $\mu_J = E(T_J)$ a esperança da duração do jogo J , com X da forma genérica

$$X = \begin{cases} x_1, P(X = x_1) = p_1 \\ x_2, P(X = x_2) = p_2 \\ x_3, P(X = x_3) = p_3 \\ \dots \\ x_k, P(X = x_k) = p_k \end{cases} \quad (2)$$

Introdução do estimador

O estimador sob avaliação é da seguinte forma

$$\widehat{E}(T_J) = \begin{cases} \frac{N-a}{E(X)} & \text{se } E(X) > 0 \\ \left| \frac{a}{E(X)} \right| & \text{se } E(X) < 0 \end{cases} \quad (3)$$

Consideraremos um passeio $J_{30,100,X}$, com (2)

$$X = \begin{cases} 1, P(X = 1) = 0.4 \\ -1, P(X = -1) = 0.6 \end{cases}$$

De (1), temos que

$$\mu_J = \frac{30}{0.2} - \frac{100}{0.2} \left(\frac{1 - (0.6/0.4)^{30}}{1 - (0.6/0.4)^{100}} \right) \approx 150$$

De (3), como $E(X) = -0.2$, temos $\widehat{E(T_J)} = \frac{30}{0.2} = 150$. O que condiz com o resultado teórico.

Aplicações em casos com regras diferentes

Passamos a estudar casos em que (1) deixa de funcionar devido a uma maior complexidade de X .

Um desses jogos foi uma simples variação do jogo anterior, $a = 30$ e $N = 100$, mas fizemos o apostador ganhar dois por vitória, ainda perdendo apenas um por derrota. Nesse caso, temos nossa variável de regras X (2)

$$X = \begin{cases} 2, P(X = 2) = 0.4 \\ -1, P(X = -1) = 0.6 \end{cases}$$

E o novo jogo $J_{30,100,X}$

Uma vez que (1) não seria apropriada devido a nova forma de X , desenvolvemos algoritmos de simulação baseados no método de Monte Carlo para avaliarmos o estimador. A primeira versão do algoritmo, implementada em Python, não satisfaz as demandas de tempo e complexidade que desejávamos. Para solucionar essa limitação, migramos para a linguagem Julia, com velocidade computacional competitiva com o C (GODOY et al., 2023), conhecida por sua alta eficiência característica da operação em baixo nível. Assim, conseguimos rodar um número maior de simulações em tempo razoável para melhorar a acurácia dos resultados (RITTER et al., 2011).

Chamaremos de $\bar{\psi}_{M,J}$ a média das durações dos M passeios J simulados. Confere que $\bar{\psi}_{M,J} \xrightarrow{M \rightarrow \infty} \mu_J$. Isto é, os valores simulados se aproximam da esperança de duração conforme o número de simulações M cresce.

Com esse recurso, $\bar{\psi}_{10000,J} \approx 350$ (veja o Apêndice A para o código dessa simulação assim como uma comparação entre as linguagens Julia e Python).

Considerando que $E(X) = 0.2$, Aplicando o estimador (3), temos que

$$\widehat{E(T_J)} = \frac{70}{0.2} = 350$$

Testamos o estimador sob diferentes regras e, na maioria dos casos, mostrou forte concordância com os valores simulados. Isso destaca a vantagem do estimador: estimar a duração de um jogo com regras diversas, o que, até onde encontramos na literatura, não foi descrito apenas com desenvolvimento teórico em probabilidade.

Tabela 1: Resultados de diferentes passeios

Semente	$E(X)$	$\widehat{E}(T_J)$	$\bar{\psi}_{M,J}$
1	10	12.5	13.14
2	5	25	25.44
3	3	50	51.14
4	0.5	100	101.12
5	-3	50	51.14
6	-5	16.66	16.66

Semente	$E(X)$	$\widehat{E}(T_J)$	$\bar{\psi}_{M,J}$
1	10	12.5	13.14
2	5	25	25.44
3	3	50	51.14
4	0.5	100	101.12
6	-3	50	51.14
7	-5	16.66	16.66

Note que, pelos jogos se desenvolverem em tempo discretos, o estimador se aproxima bem do inteiro mais próximo do simulado. Como esperado, quanto menor $E(X)$, mais impreciso tende a ser o estimador, como visto em $E(X) = 0.5$, $E(X) = 3$ e $E(X) = -3$, em que mesmo após arredondarmos ao inteiro mais próximo, ainda erra por 1.

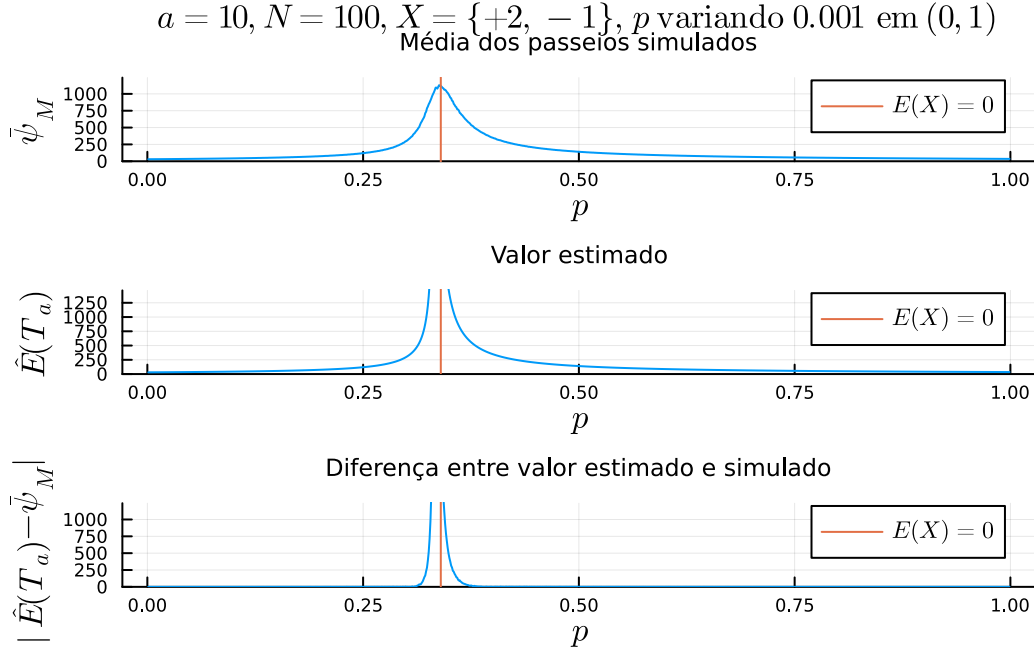


Figura 1: Comparação entre o estimador e simulações

Estes gráficos ilustram essa inacurácia conforme $E(X)$ se aproxima de 0 para um jogo com outras regras fixadas. Isto é restrições do uso do estimador residem nas regras que levam a $E(X)$ próximo de 0, uma vez que, conforme $E(X)$ se aproxima de 0, sua presença no denominador provoca divergências quando comparado com o valor simulado.

Estudamos também como simplificar a variável aleatória de regras X através de médias quando esta pode assumir mais que dois valores.

Conclusão e Passos Seguintes

Os resultados obtidos indicam que o estimador proposto possui grande flexibilidade para diferentes configurações do jogo e mostra-se especialmente útil, pois as técnicas atuais não são capazes de fornecer um resultado teórico exato para as configurações de jogos propostas. Ademais, o estimador fornece estimativas mais precisas quando há maior circulação de dinheiro entre os jogadores. No entanto, observamos que o estimador tende a divergir rapidamente dos resultados simulados quando a esperança da variável aleatória que rege as regras do jogo aproxima-se de zero devido ao denominador.

Outro desafio identificado foi a complexidade computacional envolvida na simulação de jogos com muitas regras, isto é, quando a variável aleatória pode assumir um grande número de valores. Essa limitação impõe a necessidade de soluções mais eficientes para lidar com cenários de alta complexidade, o que será um obstáculo a ser superado no estudo do caso não homogêneo.

Um interessante caminho de abordagem que buscaremos explorar é a conexão entre passeios aleatórios e redes elétricas como descrito por DOYLE; SNELL (1984). Queremos descobrir se

existem conexões entre o estimador proposto e fórmulas da física, além de outras abordagens para estudarmos passeios aleatórios, como o emprego de equações de diferenças finitas e o estudo de martingais para viabilização do estimador nesses casos.

Bibliografia

ANDĚL, J.; HUDECOVÁ, Š. [Variance of the game duration in the gambler's ruin problem](#). **Statistics & Probability Letters**, v. 82, n. 9, p. 1750–1754, 2012.

DOYLE, P. G.; SNELL, J. L. **Random Walks and Electric Networks**. [s.l.] American Mathematical Soc., 1984.

EDWARDS, A. W. F. [Pascal's Problem: The 'Gambler's Ruin'](#). **International Statistical Review / Revue Internationale de Statistique**, v. 51, n. 1, p. 73–79, 1983.

GODOY, W. F. et al. **Evaluating performance and portability of high-level programming models: Julia, Python/Numba, and Kokkos on exascale nodes**. 2023 IEEE International Parallel and Distributed Processing Symposium Workshops (IPDPSW). **Anais...** Em: 2023 IEEE INTERNATIONAL PARALLEL AND DISTRIBUTED PROCESSING SYMPOSIUM WORKSHOPS (IPDPSW). mai. 2023. Disponível em: <<https://ieeexplore.ieee.org/abstract/document/10196600>>. Acesso em: 14 fev. 2025

HARRISON, R. L. [Introduction To Monte Carlo Simulation](#). **AIP conference proceedings**, v. 1204, p. 17–21, 5 jan. 2010.

RITTER, F. E. et al. [Determining the Number of Simulation Runs: Treating Simulations as Theories by Not Sampling Their Behavior](#). Em: ROTHROCK, L.; NARAYANAN, S. (Eds.). **Human-in-the-Loop Simulations: Methods and Practice**. London: Springer, 2011. p. 97–116.

STERN, F. [Conditional Expectation of the Duration in the Classical Ruin Problem](#). **Mathematics Magazine**, v. 48, n. 4, p. 200–203, 1 set. 1975.

Apêndice A - Comparação de um mesmo algoritmo em Julia e Python

Para validar nossa decisão de trocarmos de linguagem, comparamos o mesmo (ingênuo) algoritmo em Julia e Python que usamos para avaliarmos o estimador:

Julia

```
using LaTeXStrings, Random

function main()
    Random.seed!(1)
    duracoesSoma = 0
    M = 1_000_000
    p = 0.4
    teto = 100
    for i in 1:M
        saldo = 30
        duracao = 0
        while saldo > 0 && saldo < teto
            if p > rand()
                saldo += 2
            else
                saldo -= 1
            end
            duracao += 1
        end
        duracoesSoma += duracao
    end
    display(LaTeXString("Média da duração de \$$M\$ passeios:
                        \$$$(round(duracoesSoma/M, digits = 2))\$")
end

tempo = @elapsed main()
display(LaTeXString("Tempo de execução em segundos: \$tempo"))
```

Média da duração de 1000000 passeios: 350.29

Tempo de execução em segundos: 1.966424749

Python

```
import random
import time

def main():
    random.seed(1)
    duracoes = 0
    M = 1_000_000
    p = 0.4
    teto = 100
    for i in range(M):
        saldo = 30
        duracao = 0
        while saldo > 0 and saldo < teto:
            if p > random.random():
                saldo += 2
            else:
                saldo -= 1
            duracao += 1
        duracoes += duracao
    media = duracoes / M
    print(f"Média da duração de {M} passeios: {media:.2f}")

start_time = time.time()
main()
print(f"Tempo de execução: {time.time() - start_time} segundos")
```

Média da duração de 1000000 passeios: 350.45

Tempo de execução: 65.215195919 segundos

Para a simulação em Python nesse artigo, foi utilizado a biblioteca PyCall que nos permite criar um ambiente Python no Julia, possibilitando rodar código Python nessa linguagem o que foi necessário para inclusão de sua saída exata no relatório. A performance pode ter sido afetada minimamente nos tempos de chamada ao Kernel de execução do Python.

Decisão de mudança

Desconsiderando o curto tempo de compilação do tempo total do código em Julia, que só precisa ser feito uma vez, temos que essa linguagem costuma ser consideravelmente mais rápida do que o Python, o que foi crucial nessas simulações e justificou nossas mudanças como previsto por resultados anteriores de GODOY et al. (2023)

Apêndice B - Código de simulação com regras mais complexas

```
using Random, LaTeXStrings

function simulador(;a = 50, N = 100, X=[[1, 0.5],[-1, 0.5]], M=10_000, semente = nothing)
    if !isnothing(semente)
        Random.seed!(5)
    end
    duracoesSoma = 0

    for i in 1:M
        saldo = a
        duracao = 0
        while saldo > 0 && saldo < N
            p = rand()
            for x in X
                p -= x[2]
                if p < 0
                    saldo += x[1]
                    break
                end
            end
            duracao += 1
        end
        duracoesSoma += duracao
    end
    display(LaTeXString("Média da duração de \$$M\$ passeios:
                        \$$$(round(duracoesSoma/M, digits = 2))\$")
    return duracoesSoma / M
end

simulador(X=[[8, 0.6],[-2, 0.5]], semente = 1) # 4
simulador(X=[[6, 0.5],[4, 0.25], [-8, 0.25]], semente = 2) # 2
simulador(X=[[2, 0.5],[6, 0.2], [-4, 0.3]], semente = 3) # 1
simulador(X=[[1, 0.5],[3, 0.2], [-2, 0.3]], semente = 4) # 0.5
simulador(X=[[-2, 0.5],[-6, 0.2], [4, 0.3]], semente = 5) # -1
simulador(X=[[5, 0.2],[-5, 0.8]], semente = 6) # -3
```

Média da duração de 10000 passeios: 13.14

Média da duração de 10000 passeios: 25.44

Média da duração de 10000 passeios: 51.14

Média da duração de 10000 passeios: 101.12

Média da duração de 10000 passeios: 51.14

Média da duração de 10000 passeios: 16.66

16.6648